

РОССИЙСКАЯ АКАДЕМИЯ НАУК
ФИЗИКО-ТЕХНИЧЕСКИЙ ИНСТИТУТ им. А.Ф. ИОФФЕ

На правах рукописи

КРАСИЛЬЩИКОВ АЛЕКСАНДР МИХАЙЛОВИЧ

**ЖЕСТКИЕ СИЛЬНО ПОГЛОЩЕННЫЕ ИСТОЧНИКИ
РЕНТГЕНОВСКОГО ИЗЛУЧЕНИЯ:
МОДЕЛИРОВАНИЕ ПРОЦЕССОВ АККРЕЦИИ И
НАБЛЮДЕНИЯ НА КОСМИЧЕСКИХ ЛАБОРАТОРИЯХ
CHANDRA, INTEGRAL, SWIFT**

Специальность 01.03.02 – астрофизика и радиоастрономия

АВТОРЕФЕРАТ
диссертации на соискание ученой степени
кандидата физико-математических наук

Санкт-Петербург
2006

Работа выполнена в Физико-техническом институте им. А.Ф. Иоффе РАН.

Научный руководитель

доктор физико-математических наук,
профессор Быков А.М.

Официальные оппоненты

доктор физико-математических наук
Птускин В.С.

кандидат физико-математических наук
Пальшин В.Д.

Ведущая организация

ГАО РАН

Защита состоится « »Д 002.205.03 2006 г. в на заседании Диссертационного совета при Физико-техническом институте им. А.Ф. Иоффе РАН по адресу: 194021, Санкт-Петербург, ул. Политехническая, 26.

С диссертацией можно ознакомиться в библиотеке Физико-технического института им. А.Ф. Иоффе РАН.

Автореферат разослан « »2006 г.

Ученый секретарь
диссертационного совета
кандидат физико-математических наук _____

Орбели А.Л.

ОБЩАЯ ХАРАКТЕРИСТИКА РАБОТЫ

Актуальность темы диссертации.

Жёсткие сильно поглощенные рентгеновские источники – это важный класс источников, наблюдательное изучение которых стало возможно только сейчас, с появлением телескопов, способных строить изображения в диапазоне энергий выше 10–15 кэВ. Характерной чертой этих источников является мощное энерговыделение при падении (акреции) вещества на гравитирующй компактный объект: белый карлик, нейтронную звезду или чёрную дыру (включая сверхмассивные чёрные дыры в ядрах галактик).

Изучение физических процессов в аккреционных источниках представляет важную проблему, поскольку по эффективности выделения энергии они намного превосходят иные известные источники энерговыделения и, в частности, термоядерные источники энергии в звёздах. Аккреционные источники являются яркими объектами во всех наблюдаемых диапазонах спектра. Наблюдение таких источников в различных спектральных диапазонах (прежде всего, в рентгеновском и гамма-диапазонах), а также их теоретическое моделирование, является исключительно важным, поскольку позволяет судить о свойствах вещества и физических процессах внутри и в окрестности компактных объектов. Физические процессы в этих источниках происходят в экстремальных условиях, недостижимых в земных лабораториях: в сильных гравитационных полях, сильных (до $10^{10} - 10^{13}$ Гс) магнитных полях, при высоких температурах и плотностях.

Изучение аккреционных источников в галактических компактных объектах позволяет делать выводы об эволюции звездного населения Галактики, а изучение внегалактических аккреционных источников в ядрах галактик позволяет накладывать существенные ограничения на параметры современных космологических моделей.

Цели работы.

Целью диссертации является изучение аккреционных источников излучения посредством теоретического и численного моделирования и с помощью наблюдений на современных орбитальных и наземных телескопах в различных диапазонах электромагнитного спектра.

Конкретно, целями диссертации являются:

1. Исследование источников жесткого нетеплового рентгеновского излучения в полях остатков сверхновых γ -Cygni и IC 443 (которые ассоциируются с гамма-источниками, обнаруженными камерой *CGRO EGRET*) путём их наблюдения в рентгеновском диапазоне и анализа многоволновых архивных данных.
2. Исследование источника жесткого нетеплового рентгеновского излучения, возможно, связанного с ускорением частиц при взаимодействии мощных ветров массивных молодых звезд в активной области звездообразования NGC 6334, путём наблюдения в рентгеновском диапазоне и анализа многоволновых архивных данных.
3. Исследование физических процессов в аккреционной колонке вблизи поверхности замагниченной нейтронной звезды. Построение численной модели аккреционной колонки и изучение динамики аккреционного потока

и формирования ударного фронта в аккреционной колонке над поверхностью звезды. Поиск режимов акреции, позволяющих ядрам С, N, O достигать поверхности нейтронной звезды без разрушения в реакциях скальвания.

Новизна работы.

1. Впервые построены изображения поля остатка сверхновой γ -Cygнi в жёстких диапазонах от 20 до 80 кэВ и изучена его пространственная структура. В северо-западной части γ -Cygнi обнаружен и локализован с точностью до 4" новый точечный источник рентгеновского излучения IGR J2018+4043, вероятно, являющийся активным ядром ранее неизвестной галактики, проецирующейся на поле γ -Cygнi. Этот источник может быть ассоциирован с мощным неотождествлённым гамма-источником 3EG J2020+4017.
2. В активной области звездообразования NGC 6334 в диапазоне до 80 кэВ обнаружен новый жёсткий рентгеновский источник, вероятно, являющийся активным ядром ранее неизвестной галактики, проецирующейся на поле NGC 6334.
3. Впервые построена численная модель нестационарной суб-эддингтоновской колонковой акреции на замагниченную нейтронную звезду. В рамках этой модели впервые изучена динамика формирования и эволюция бесстолкновительной ударной волны в аккреционной колонке вблизи поверхности звезды. Найдены режимы акреции, при которых ядра С, N, O в падающем потоке могут достигать поверхности звезды без разрушения в реакциях скальвания.

Достоверность научных результатов.

Достоверность результатов, полученных путём обработки и анализа данных наблюдений космических и наземных телескопов, подтверждается использованием методов обработки наблюдательных данных, разработанных и применяемых в ведущих обсерваториях мира, кросс-калибровками между различными приборами, а также сотрудничеством с разработчиками и создателями использованных телескопов.

Достоверность результатов, полученных аналитически и численным моделированием, подтверждается использованием общепризнанных математических и численных методов в рамках физических приближений, применимость которых ограничена четко сформулированными критериями. Метод Годунова, использованный при моделировании аккреционного потока, имеет надёжное математическое обоснование и применяется в газодинамических расчётах уже более сорока лет. Скорости основных физических процессов в аккреционном потоке вычислены на основе сечений этих процессов, рассчитанных методами квантовой электродинамики. Там, где это возможно, результаты численных расчетов сверены с теоретическими формулами, полученными в различных предельных случаях.

Практическая значимость работы.

Результаты работы, связанные с наблюдениями акрецирующих объектов, важны для понимания природы конкретных жёстких поглощённых источников и, в частности, для идентификации самого яркого из неотождествлённых

гамма-источников 3EG J2020+4017, а также в целом для проверки современных представлений о строении и эволюции активных ядер галактик.

В рамках современных моделей взаимодействия остатков сверхновых и мощных ветров массивных звёзд ранних спектральных классов полученные результаты позволяют дать ограничения на параметры межзвёздной среды в исследованных объектах.

Результаты работы, относящиеся к моделированию аккреции на замагниченную нейтронную звезду, важны для теории аккреции на компактные объекты и представляют интерес для интерпретации наблюдаемых спектров излучения рентгеновских двойных систем с нейтронной звездой. Кроме того, эти результаты важны для моделирования рентгеновских вспышек первого типа и интерпретации наблюдений таких вспышек.

Основные положения, выносимые на защиту.

1. Построение нестационарной модели суб-эддингтоновской аккреции на замагниченную нейтронную звезду. Изучение динамики формирования и эволюции ударной волны в аккреционной колонке вблизи поверхности звезды. Демонстрация возможности эффективной трансформации кинетической энергии аккреционного потока в циклотронное излучение. Определение режимов аккреции, при которых значительная доля падающего вещества может достигать поверхности звезды без разрушения в реакциях скальвания.
2. Получение изображений поля остатка сверхновой γ -Сигни в жестких рентгеновских диапазонах от 20 до 80 кэВ и построение мозаичных карт остатка с размером ячейки около $5'$. Обнаружение и локализация с точностью до $4''$ жёсткого источника IGR J2018+4043, возможно, связанного с неотождествлённым гамма-источником 3EG J2020+4017. Интерпретация источника IGR J2018+4043 как аккрецирующего активного ядра галактики с космологическим красным смещением $z < 0.1$. Обнаружение протяжённого источника нетеплового оптического и радиоизлучения в области взаимодействия остатка γ -Сигни с ветром массивной молодой звезды HD 193322.
3. Обнаружение и исследование структуры жёсткого рентгеновского излучения активной области звездообразования NGC 6334 в диапазоне от 0.5 до 80 кэВ. Вывод о том, что вероятными источниками наблюдаемого жёсткого излучения являются а) сильно поглощенный внегалактический радиоисточник NGC 6334B, ассоциируемый с аккрецирующим активным ядром галактики, и б) диффузный источник NGC 6334A, связанный с излучением энергичных электронов в области столкновения ветров массивных звёзд ранних спектральных классов.

Апробация работы и публикации.

Результаты, вошедшие в диссертацию, получены в период с 1998 по 2006 г. и изложены в 11 печатных работах (включая 6 статей в реферируемых журналах). Результаты диссертационной работы были представлены на международных конференциях: The 3rd INTEGRAL Workshop "The Extreme Universe" (Taormina, Italy, 1998), Joint European and National Astronomical Meeting (JENAM-2000; Москва, 2000), Committee on Space Research Scientific Assembly (COSPAR-2006; Beijing, China, 2006); на всероссийских конференциях: Физика нейтронных звёзд (NS-2001; Санкт-Петербург, 2001), Астро-

физика высоких энергий сегодня и завтра (НЕА-2001, НЕА-2002; Москва, 2001, 2002), а также на семинарах сектора теоретической астрофизики ФТИ им. А.Ф. Иоффе РАН (Санкт-Петербург, 1998-2006), на семинаре теоретического отдела Института теоретической и экспериментальной физики (Москва, 2001), на семинаре Центра обработки данных обсерватории *INTEGRAL* (Geneva, Switzerland, 2001), на семинаре Астрофизического института университета г. Тюбинген (Tübingen, Germany, 2002).

Структура и объём диссертации.

Диссертация состоит из введения, четырёх глав, заключения и приложения, содержит 100 страниц печатного текста, в том числе 35 рисунков, 6 таблиц и список литературы, включающий 145 наименований.

ОСНОВНОЕ СОДЕРЖАНИЕ РАБОТЫ

Во **введении** сформулированы цели и задачи диссертации, обоснована актуальность работы и её новизна, а также достоверность полученных результатов, приведены положения, выносимые на защиту.

Глава 1 посвящена описанию орбитальной гамма-обсерватории *INTEGRAL*.

В **разделе 1.1** дан обзор характеристик телескопов, установленных на обсерватории *INTEGRAL*, и программы наблюдений, проводимых на ней.

Гамма-обсерватория *INTEGRAL* [23] введена в строй в октябре 2002 года. Она состоит из трёх приборов, наблюдающих небо в жестких рентгеновских и гамма-лучах: спектрометра *SPI* (20 кэВ – 8 МэВ), камеры *IBIS*, имеющей низкоэнергичный (*ISGRI*, 15 – 250 кэВ [12]) и высокоэнергичный (*PICsIT*, 0.2 – 10 МэВ) детекторы, и рентгеновского монитора *JEM-X* (3 – 35 кэВ) [14].

Особенность телескопов обсерватории *INTEGRAL* состоит в использовании кодирующих масок, что позволяет строить изображения наблюдаемых объектов в диапазоне выше 10 кэВ, но приводит к существенным трудностям при обработке и интерпретации данных.

Программа наблюдений на обсерватории *INTEGRAL* состоит из наблюдений, проводимых научным советом обсерватории (Core Program), и наблюдений, проводимых в рамках открытого конкурса (Announcements of Opportunity), в котором могут участвовать все заинтересованные лица.

В **разделе 1.2** на примере наблюдений камерой *ISGRI* и монитором *JEM-X* поля галактического остатка сверхновой IC 443 продемонстрированы некоторые особенности и трудности, возникающие при интерпретации данных наблюдений телескопом с кодирующей маской.

Глава 2 посвящена наблюдениям жёсткого источника в поле остатка сверхновой γ -*Cygni*. В этой главе дан краткий обзор современных представлений о структуре γ -*Cygni*, проанализированы наблюдательные данные о γ -*Cygni*, полученные в различных спектральных диапазонах, и сделаны выводы о структуре и природе жёстких источников в поле этого остатка.

Остаток сверхновой γ -*Cygni* (G78.2+2.1) – это протяжённый источник размером около градуса, наблюдаемый в широком диапазоне энергий от радио до гамма-излучения. Этот остаток расположен в богатой источниками области Лебедя, содержащей массивные газо-пылевые комплексы, поблизости от мощной звёздной ассоциации Cygnus OB2. Остаток γ -*Cygni* был открыт в 1977 году как радиооболочка [2, 9].

Остатки сверхновых являются наиболее вероятными источниками космических лучей. Взаимодействие нуклонной составляющей космических лучей с межзвёздной средой может приводить к рождению π^0 -мезонов, распад которых сопровождается гамма-излучением [1]. В поле γ -Сигни присутствует источник жесткого гамма-излучения 2CG 078+2 (2EG J2020+4026 / 3EG J2020+4017 / GEV J2020+4043) – самый яркий из неотождествлённых источников, наблюденных камерой *CGRO-EGRET*. Поэтому, наряду с остатком сверхновой IC 443, остаток γ -Сигни считается вероятным источником гамма-излучения от взаимодействия нуклонной составляющей галактических космических лучей [21] с межзвёздным газом. Поток излучения источника 3EG J2020+4017 в диапазоне выше 100 МэВ составляет около $1.2 \cdot 10^{-6}$ фот $\text{см}^{-2} \text{ с}^{-1}$ [7, 21]. Пространственное разрешение гамма-телескопов недостаточно для надёжной идентификации источников, находящихся в плоскости Галактики, поэтому нельзя исключить интерпретацию 3EG J2020+4017 как точечного источника, например, аккрецирующего активного ядра галактики (подавляющее большинство идентифицированных источников *EGRET* является активными ядрами галактик). Несмотря на интенсивные поиски в окрестности номинальной позиции 3EG J2020+4017 (в том числе, направленные наблюдения в нескольких радиодиапазонах и в рентгеновском диапазоне до 8 кэВ), источник так и не был обнаружен [4, 22]. В представленной диссертации предложена новая идентификация гамма-источника 3EG J2020+4017.

В период с 2003 по 2005 год поле γ -Сигни многократно наблюдалось камерой *INTEGRAL ISGRI*. Суммарная экспозиция γ -Сигни в полностью кодированном поле зрения *ISGRI* составила около 1.5 млн. секунд. По этим данным были впервые построены изображения остатка в жёстких спектральных диапазонах 20–40 кэВ и 40–80 кэВ с разрешением около 6'. Рентгеновская карта γ -Сигни содержит несколько ярких локализованных излучающих сгустков, имеющих размер $10' - 20'$. Самый яркий сгусток (далее – источник IGR J2018+4043) находится в северо-западной части остатка, неподалёку от яркой звезды HD 193322, относящейся к классу O9V. Расстояния до γ -Сигни и до HD 193322 [16] совпадают в пределах ошибок, что позволяет рассматривать взаимодействие ветра этой звезды с остатком как потенциальный источник наблюдаемого жёсткого излучения. На эту же возможность указывает и наличие яркого протяжённого источника излучения в линии [OIII] (5010 Å), также находящегося в северо-западной части остатка [15]. Анализ архивных данных, полученных телескопом *ASCA* в поле γ -Сигни, указывает на наличие жёсткого источника, положение которого совпадает с положением источника IGR J2018+4043. Следует, однако, заметить, что источник, обнаруженный *ASCA*, находился на краю поля зрения камеры *GIS*, что внесло дополнительную неопределённость в его параметры (в том числе, в положение, угловой размер и форму). Дополнительный анализ архивных данных о γ -Сигни, полученных камерой *RXTE PCA*, позволяет построить совместный спектр всего остатка (камера *PCA* не имеет пространственного разрешения и собирает сигнал из круглой апертуры диаметром около градуса). Такой комбинированный спектр может быть описан степенным законом с изломом на энергии 11.1 ± 1.2 кэВ. При меньших энергиях показатель спектра равен 2.0 ± 0.4 , а при больших энергиях он равен 1.2 ± 0.4 . Модель также содержит лоренцевскую линию с энергией 6.2 ± 0.04 кэВ и шириной 1.0 ± 0.2 кэВ, которая

может указывать на наличие в поле зрения *PCA* неотождествлённого аккрецирующего источника (например, активного ядра галактики), излучающего в смещённой линии железа. Экстраполяция такого спектра в диапазон *ISGRI* не противоречит суммарному потоку, наблюденному *ISGRI* от трёх наиболее ярких источников в поле γ -*Cygni*.

С 26 по 30 марта 2006 года окрестность источника IGR J2018+4043 была наблюдана телескопом *Swift XRT*. В поле *XRT* обнаружен жёсткий точечный источник с координатами 20:18:38.55 +40:41:00.4 (J2000, ошибка локализации – 4''.2). Спектр этого источника может быть описан степенным законом с показателем $\Gamma = 1.1_{-0.8}^{+0.9}$, а наблюденный поток излучения в диапазоне 0.5–10.0 кэВ составляет $3.4_{-0.8}^{+0.7} \times 10^{-12}$ эрг см $^{-2}$ с $^{-1}$. Таким образом, найденный источник может быть отождествлён с источником IGR J2018+4043, поскольку их свойства и положения согласуются в пределах погрешностей. Карта окрестности источника IGR J2018+4043 в мягком и жёстком рентгеновских диапазонах приведена на рис. 1. Экстраполяция рентгеновского спектра IGR J2018+4043 в гамма-диапазон камеры *EGRET* даёт поток излучения, совместимый с наблюденным потоком от гамма-источника GEV J2020+4043. Поскольку в рассматриваемом поле имеются вариации гамма-фона и присутствуют ещё два гамма-источника на расстоянии менее 3° от IGR J2018+4043, точность локализации *EGRET* может быть существенно хуже номинальной. Указанные факторы позволяют говорить о вероятном совпадении этих источников, несмотря на расстояние 0°.31, разделяющее их номинальные позиции.

В силу того, что по данным обсерватории *Swift* положение IGR J2018+4043 определено с высокой точностью, был произведён поиск этого источника в архивных данных в радио-, инфракрасных и оптических диапазонах. По данным телескопа *VLA*, полученным на частоте 1.4 ГГц, обнаружен радиоисточник, состоящий из точечной и протяжённой составляющих, положение которых не противоречит расположению IGR J2018+4043. Суммарная плотность потока излучения от этого источника составляет около 480 мЯн при среднем уровне шума около 5 мЯн. Разрешение телескопа *VLA* в конфигурации "D" недостаточно для надёжного разделения точечного источника и протяжённой структуры, которая сама по себе может быть интерпретирована как область взаимодействия остатка сверхновой γ -*Cygni* с ветром массивной звезды HD 193322. В каталоге источников инфракрасного излучения, наблюдённых обсерваторией MSX [6] на длине волны 8.28 мкм, обнаружен источник с плотностью потока излучения 88 ± 9 мЯн, совпадающий по расположению с IGR J2018+4043. При анализе данных инфракрасного обзора 2MASS [20] и оптического обзора POSS-II [18] обнаружен сильно поглощенный источник, совпадающий по расположению с IGR J2018+4043 и имеющий протяжённость около 10''. Величина этого источника в стандартных инфракрасных фильтрах, определённая с учётом его протяжённости, составляет J = 13.0, H = 11.5, K_s = 10.7. Плотность потока излучения IGR J2018+4043 в красном фильтре POSS-II (6500–7000 Å) составляет около 0.27 мЯн, а в инфракрасном фильтре POSS-II (7350–8750 Å) – около 0.76 мЯн. В голубом фильтре POSS-II (3750–5500 Å) источник не обнаружен из-за сильного галактического поглощения.

На основе полученных данных об IGR J2018+4043 было построено спектральное распределение энергии этого источника от радио- до гамма-диапазо-

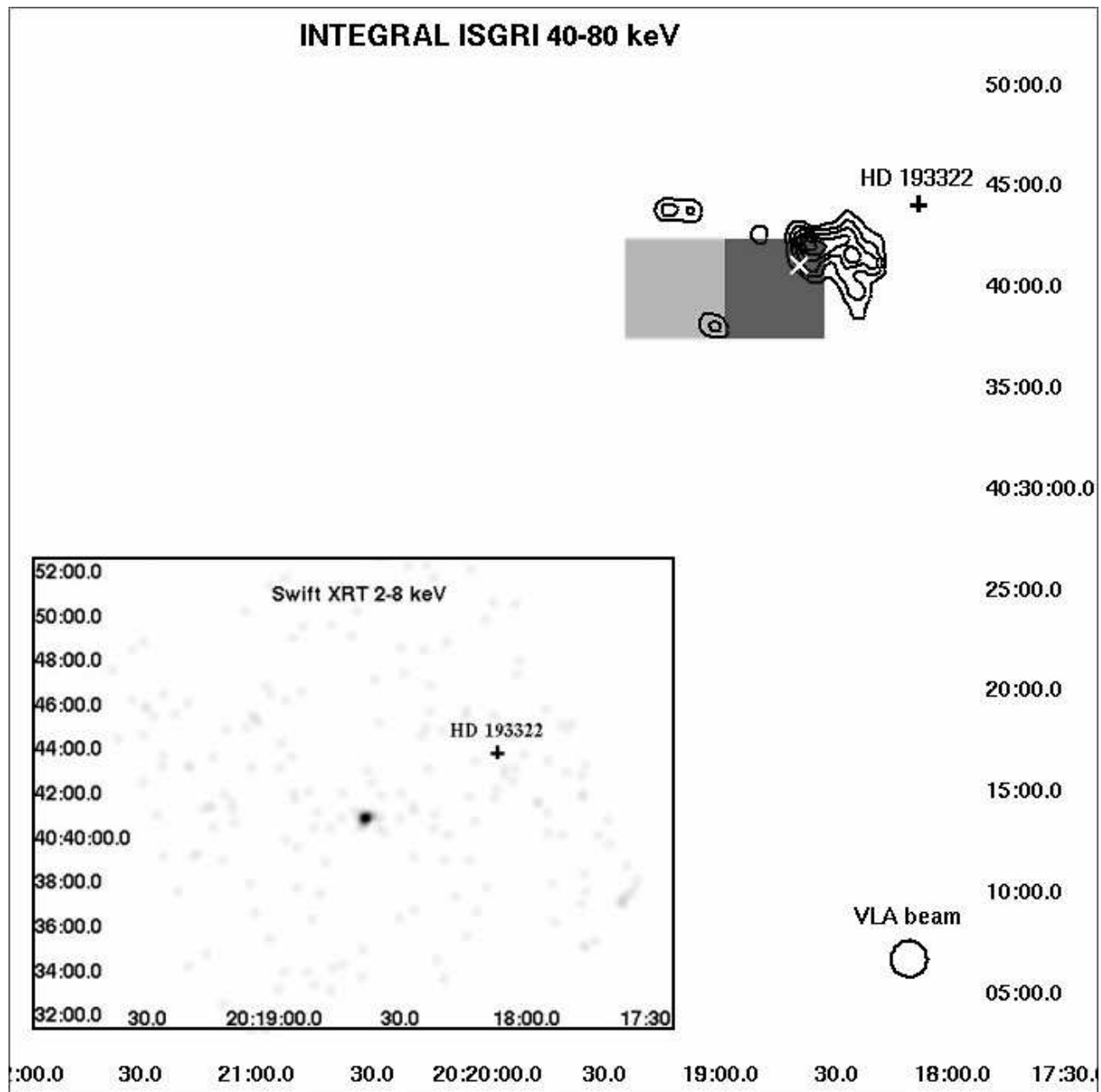


Рис. 1: Изображение окрестности источника IGR J2018+4043 в диапазоне 40–80 кэВ, построенное по данным камеры *INTEGRAL ISGRI*, с наложенными контурами плотности радиопотока на частоте 1.4 ГГц, наблюденного на телескопе *VLA*. Светлый и тёмный пиксели *ISGRI* соответствуют значимости детектирования 3.6σ и 3.8σ . Контуры радиопотока соответствуют линейной шкале от 9 до 73 мЯн на пучок. Белым крестиком отмечено положение источника IGR J2018+4043, определённое по данным обсерватории *Swift*. На врезке дана карта интенсивности излучения, полученная по данным телескопа *Swift XRT* в диапазоне 2–8 кэВ.

на, учитывающее сильное галактическое поглощение ($A_V \approx 9.8$) в направлении на IGR J2018+4043.

Оцененная по данным обсерватории *Swift* лучевая концентрация водорода в направлении на IGR J2018+4043 составляет $N_H = 5.2_{-2.4}^{+3.3} \times 10^{22} \text{ см}^{-2}$, что в 2–3 раза превышает значения N_H , типичные для поля остатка γ -Сигни. Таким образом, вероятнее всего, источник IGR J2018+4043 находится дальше, чем остаток сверхновой γ -Сигни, и не связан с этим остатком. Спектральное распределение энергии, излучаемой IGR J2018+4043, имеет вид, типичный для активного ядра сейфертовской галактики, которое конвертирует энергию акреции в нетепловое излучение релятивистских электронов. Более конкретно, двухпиковая структура спектра IGR J2018+4043 весьма схожа со спектрами блазаров, которые обычно интерпретируются в рамках синхротронно-комптоновской модели [8]. В таком случае протяженную составляющую источника, наблюденную в оптических и инфракрасных диапазонах, можно интерпретировать как родительскую галактику, содержащую активное ядро. Её наличие позволяет дать ограничение $z < 0.1$ на космологическое красное смещение IGR J2018+4043.

Глава 3 посвящена наблюдениям жёсткого источника в поле активной области звездообразования NGC 6334. В этой главе дан краткий обзор современных представлений о структуре NGC 6334, проанализированы данные об NGC 6334, полученные в различных спектральных диапазонах, и сделаны выводы о структуре и природе жёсткого рентгеновского источника в поле этой активной области звездообразования.

NGC 6334 имеет болометрическую светимость $L_{bol} \sim 1.9 \cdot 10^6 L_\odot$ и ассоциируется с гигантским молекулярным облаком, масса которого составляет $M_{cloud} \sim 1.6 \cdot 10^5 M_\odot$. Многочисленные наблюдения в радио- и инфракрасном диапазонах позволили установить наличие сложной структуры NGC 6334, состоящей из нескольких хорошо локализованных звездообразующих ядер. Массивные звездообразующие ядра расположены вдоль одной оси и образуют хребет размером около $20' \times 3'$, вероятно, связанный с аналогичной структурой молекулярного облака [13].

В период с 2003 по 2004 год поле NGC 6334 неоднократно наблюдалось камерой *INTEGRAL ISGRI*. Суммарная экспозиция в полностью кодируемом поле *ISGRI* составила около 420 тыс. секунд. По этим данным впервые были построены карты поля NGC 6334 в жёстких диапазонах до 80 кэВ и обнаружен жёсткий источник с потоком излучения $(1.8 \pm 0.37) \times 10^{-11} \text{ эрг см}^{-2} \text{ с}^{-1}$ в диапазоне 20–60 кэВ, спектр которого может быть описан степенным законом с показателем $\gamma = 0.9 \pm 0.3$.

Неопределённость положения жёсткого источника, обнаруженному *ISGRI*, составляет несколько минут. Поэтому для отождествления источника данные *ISGRI* были проанализированы совместно с архивными данными высокого разрешения, полученными камерой *Chandra ACIS* в диапазоне 0.2–8.0 кэВ, а также архивными радиоданными на частоте 1.4 ГГц и оптическими данными в фильтре R. Анализ данных обсерватории *Chandra* позволил установить, что поле NGC 6334 состоит из множества излучающих сгустков, в основном расположенных вдоль хребта NGC 6334. Спектральный анализ наиболее мощных сгустков, положение которых совместимо с положением источника *ISGRI*, выявил два из них — NGC 6334B и NGC 6334A — в качестве канди-

датов в источники жёсткого рентгеновского излучения.

Точечный источник NGC 6334B имеет внегалактическую природу. Согласно радиоданным, полученным при наблюдениях этого источника в линии H α , расстояние до него составляет по меньшей мере 6 кпк [17]. Согласно спектральным данным обсерватории *Chandra*, лучевая концентрация водорода в направлении на NGC 6334B приблизительно равна 10^{23} см^{-2} , что существенно выше значений $N_H \lesssim 3 \cdot 10^{22} \text{ см}^{-2}$, типичных для поля NGC 6334, и также указывает на внегалактическую природу этого источника. Спектральные характеристики NGC 6334B в широком диапазоне энергий согласуются с параметрами, типичными для сильно поглощенных аккрецирующих внегалактических источников, которые ассоциируются с активными ядрами галактик. Кроме того, NGC 6334B демонстрирует радиопеременность на масштабах около года [17], что также весьма характерно для активных ядер галактик.

Протяжённая HII-область NGC 6334A является частью активной области звездообразования NGC 6334. Согласно данным инфракрасных и радионаблюдений, в области NGC 6334A имеется мощный (болометрическая светимость $\sim 2.5 \cdot 10^5 L_\odot$) высокоскоростной биполярный источник излучения в дальнем инфракрасном диапазоне и мощный H₂O-мазер, а также ряд объектов Хербига-Аро и четко очерченная радиооболочка размером около 15'', которую можно интерпретировать как ударный фронт, созданный либо молодым остатком сверхновой, либо мощным ветром молодой звезды класса O7V5. Для проверки гипотезы о наличии молодого остатка сверхновой в облаке NGC 6334 в спектре рентгеновского излучения, полученном камерой *ISGRI*, был произведён поиск линий нестабильного ^{44}Ti на энергиях 67.9 кэВ и 78.4 кэВ. Результатом этого поиска явился верхний предел на уровне 3σ , составляющий $2.1 \cdot 10^{-5} \text{ фот см}^{-2} \text{ с}^{-1}$ в обеих линиях. Полученный предел соответствует верхнему пределу массы ^{44}Ti , произведённого сверхновой, равному $2.3 \cdot 10^{-6} M_\odot$. Это намного меньше типичных теоретических значений для сверхновых моложе 100 лет [10, 24]. Таким образом, существование в поле NGC 6334A молодой сверхновой с высокой вероятностью исключено.

Глава 4 посвящена моделированию аккреции на замагниченную нейтронную звезду. Краткий обзор существующих моделей аккреции дан в **разделе 4.1**. В **разделе 4.2** представлена численная модель суб-эддингтоновской колонковой аккреции на замагниченную нейтронную звезду.

Нейтронные звезды представляют собой распространенный класс астрофизических объектов: их доля в звёздном населении Галактики оценивается как 10^{-3} . Согласно современным теоретическим представлениям и интерпретации результатов наблюдений молодых радиопульсаров (с возрастом меньше нескольких миллионов лет), значительная часть нейтронных звёзд обладает сильным ($B \sim 10^{10} \text{--} 10^{12} \text{ Гс}$) магнитным полем.

Источником вещества, аккреированного на нейтронную звезду, может быть как межзвёздная среда, сквозь которую движется аккрецирующая звезда, так и звезда-компаньон (если аккрецирующая нейтронная звезда находится в двойной системе). Если звезда-компаньон испускает сильный ветер, акреция может происходить непосредственно из этого ветра; в противном случае вещество звезды-донора переполняет полость Роша этой звезды, пе-

ретекает через точку Лагранжа и формирует аккреционный диск вокруг нейтронной звезды.

Аналитические и численные модели акреции на компактные объекты строятся с середины 60-х годов XX века (см. пионерские работы [3] и [19]). Основными вопросами теории акреции на нейтронную звезду являются вопросы о механизмах энерговыделения и переноса излучения в аккреционной колонке и в частности, вопрос о наличии в колонке ударной волны. Аронс и др. (см. [11] и ссылки в этой работе) построили детальные модели существенно сверхъэддингтоновской радиационно-доминированной акреции и в рамках этих моделей изучили динамику аккреционного потока и возникающих в нем ударных волн.

В представленной диссертации построена и изучена одномерная модель нестационарной суб-эддингтоновской акреции, имеющей скорость $\dot{M} = 10^{15} - 10^{16}$ г с⁻¹, на нейтронную звезду с магнитным полем $B_* = 5 \times 10^{10} - 10^{13}$ Гс. В отличие от большинства предшествовавших работ, наличие ударных волн в колонке изначально не постулируется, а является результатом эволюции рассматриваемой системы. Особенность работы состоит в построении гидродинамического кода, основанного на методе Годунова, который позволяет исследовать разрывные течения и, в частности, описывать динамику ударных волн. Модель последовательно учитывает кинетику электронно-ионных потоков в сильном магнитном поле. Магнитное поле в колонке считается заданным; связанные с ним процессы взаимодействия вещества и излучения играют важнейшую роль в эволюции аккреционного потока.

Основными параметрами модели являются масса нейтронной звезды M_* и её радиус r_* , а также величина магнитного поля B_* на её магнитном полюсе и скорость акреции на единицу площади основания аккреционной колонки \dot{M}/A_0 .

Эволюция потока, движущегося вдоль силовых линий дипольного магнитного поля нейтронной звезды, описывается системой газодинамических уравнений:

$$r^3 \frac{\partial \rho}{\partial t} + \frac{\partial}{\partial r}(r^3 \rho u) = 0, \quad (1)$$

$$r^3 \frac{\partial(\rho u)}{\partial t} + \frac{\partial}{\partial r}[r^3(p + \rho u^2)] = r^3 \mathcal{F} + 3r^2 p, \quad (2)$$

$$r^3 \frac{\partial}{\partial t} \left[\rho_s(E_s + \frac{u^2}{2}) \right] + \frac{\partial}{\partial r}(r^3 [\rho_s u(E_s + \frac{u^2}{2}) + p_s u]) = r^3 \mathcal{Q}_s, \quad (3)$$

где массовая плотность $\rho = \rho_e + \rho_i$, давление $p = p_i + p_e$, \mathcal{F} и \mathcal{Q}_s обозначают объемные плотности силы и скорости энерговыделения, а $s = i, e$ обозначает сорт частиц.

Слагаемые \mathcal{F} и \mathcal{Q}_s описывают физические процессы в аккреционной колонке, обусловленные гравитацией, обменом энергии между электронами и ионами в кулоновских столкновениях с возбуждением электронных уровней Ландау и при рассеянии на малые углы, тормозное излучение электронов на ионах и электронах, однократные комптоновские процессы и перенос излучения в широкой циклотронной линии. В качестве граничных условий рассмотрено втекание в колонку холодного свободно падающего вещества и наличие

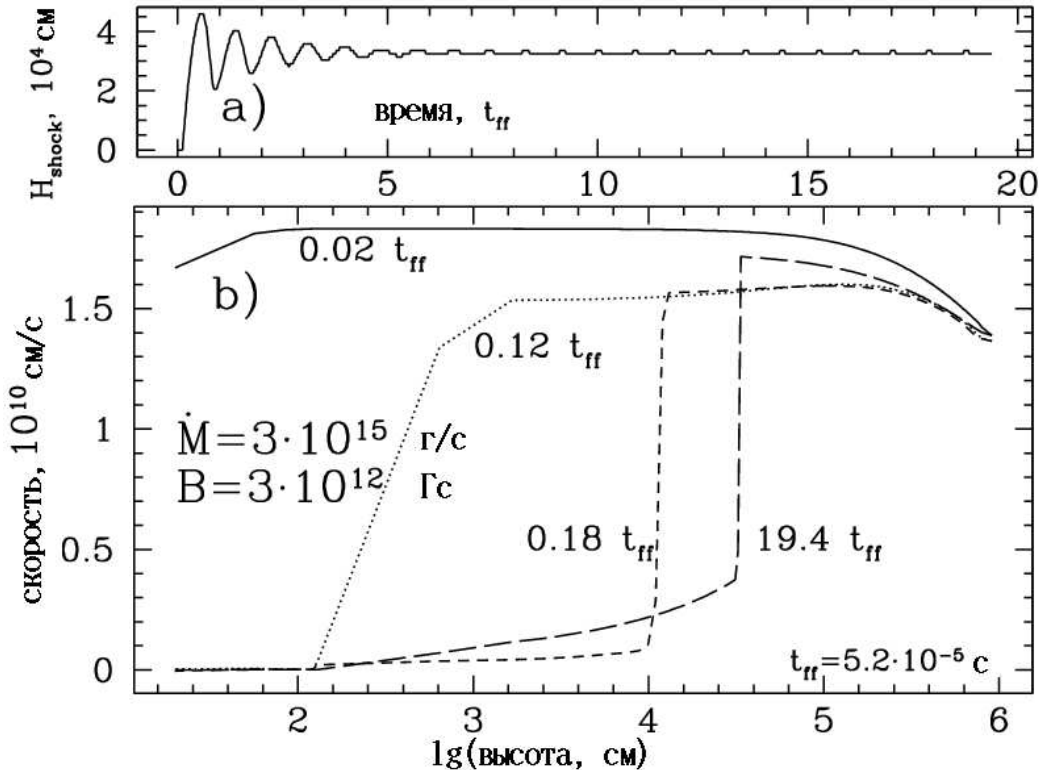


Рис. 2: Эволюция аккреционного потока для случая $B_* = 3 \cdot 10^{12}$ Гс, $\dot{M} = 3 \cdot 10^{15}$ г с $^{-1}$: а) зависимость высоты ударной волны от времени; б) эволюция профиля скорости потока.

плотной и тонкой атмосферы нейтронной звезды, в которой скорость аккреционного потока падает до нуля. Считалось, что в начальный момент времени аккреционная колонка заполнена холодным газом и не содержит ударных волн.

Для численного интегрирования системы (1)–(3) использован модифицированный метод годуновского типа (ёмкостная схема по типу Ле Века с расщеплением), позволяющий изучать динамику ударных волн с одновременным аккуратным учётом микроскопических процессов обмена энергией между компонентами потока на различных масштабах времени.

Численные расчёты, проведённые в рамках построенной модели, показали, что на временах порядка 10^{-5} с в колонке развиваются сильные ударные волны. Эти волны совершают устойчивые колебания около своих положений равновесия с периодами порядка 10^{-5} с, затухающие за время порядка 10^{-3} с. Рассчитанные профили течения демонстрируют устойчивые и сильные ударные волны, которые тормозят и нагревают аккреционный поток. На таких волнах ионы нагреваются намного сильнее, чем электроны, поскольку в ионах содержится основная часть кинетической энергии потока. Однако при дальнейшем движении к поверхности нагретые ионы отдают значительную часть своей энергии электронам, которые, в свою очередь, выделяют её в виде циклотронных и тормозных фотонов и отдают нерезонансным фотонам при комптоновском рассеянии. В большинстве случаев степень сжатия на фронтах несколько превосходит 4 (максимальное значение для нерелятивистских одножидкостных ударных волн) из-за слаборелятивистских изменений адиа-

батического индекса ионов, нагретых до температуры в несколько десятков МэВ.

Пример эволюции положения ударной волны в аккреционной колонке и профиля скорости аккреционного потока приведён на рис. 2 для случая $B_\star = 3 \cdot 10^{12}$ Гс, $\dot{M} = 3 \cdot 10^{15}$ г с⁻¹, $A_0 = 10^{10}$ см².

Важным свойством модели является трансформация значительной доли потока энергии вещества в энергию фотонов оптически толстой электронной циклотронной линии. Давление запертого циклотронного излучения существенно влияет на динамику аккреционного потока. Сильное торможение и эффективное охлаждение потока в оптически тонком режиме в колонке приводит к тому, что до поверхности звезды доходит лишь около половины энергии аккреционного потока.

В теории рентгеновских вспышек первого типа, происходящих на поверхности нейтронных звёзд, важным является вопрос о наличии во вспышечной области ядер С, N, O как катализаторов термоядерного горения водорода. В случае, когда аккреционный поток тормозится в атмосфере нейтронной звезды, ядра С, N, O разрушаются, не достигая поверхности звезды [5]. Для построенных моделей суб-эддингтоновского аккреционного потока найдены такие режимы акреции, когда значительная часть ядер С, N, O может достичь поверхности нейтронной звезды без разрушения в реакциях скальвания, и таким образом, катализировать рентгеновские вспышки первого типа на поверхности нейтронной звезды.

В **приложении** дан список использованных сокращений, описана методика вычисления скорости обмена энергией в электронно-ионных столкновениях с возбуждением электронных уровней Ландау в сильном магнитном поле, а также приведены списки проанализированных экспозиций полей γ -Сигни, IC 443 и NGC 6334 в поле телескопов *INTEGRAL ISGRI* и *INTEGRAL JEM-X*.

В **заключении** сформулированы основные результаты работы, приведён список публикаций, содержащих описание основных результатов, и список цитированной литературы.

ОСНОВНЫЕ ВЫВОДЫ И РЕЗУЛЬТАТЫ РАБОТЫ

1. В результате наблюдений поля остатка сверхновой γ -Сигни гамма-обсерваторией *INTEGRAL* впервые получены изображения остатка сверхновой в жёстких рентгеновских диапазонах от 20 кэВ до 80 кэВ. В северо-западной части γ -Сигни в диапазоне до 80 кэВ обнаружен источник жёсткого излучения IGR J2018+4043.
2. В результате наблюдений северо-западной части γ -Сигни обсерваторией *Swift* обнаружен и локализован с точностью до 4" жёсткий рентгеновский источник, имеющий координаты 20:18:38.55 +40:41:00.4 (J2000). Он может быть отождествлён с источником IGR J2018+4043.
3. Источник IGR J2018+4043 имеет аккреционную природу. Вероятнее всего, он является активным ядром близкой ($z < 0.1$) галактики, которое проецируется на поле γ -Сигни (с меньшей вероятностью этот источник может быть галактическим микроквазаром). Однако область взаимодействия остатка с ветром массивной молодой звезды HD 193322 также может вносить вклад в жёсткое излучение γ -Сигни, зарегистрированное камерой

- ISGRI*, и в радиоизлучение, обнаруженное телескопом *VLA*.
4. По результатам наблюдений поля остатка сверхновой IC 443 монитором *INTEGRAL JEM-X* обнаружены избытки излучения в диапазонах 6–10 кэВ и 10–20 кэВ. Эти избытки пространственно коррелируют с источниками, наблюденными обсерваториями *BeppoSAX* и *XMM-Newton* в диапазоне до 10 кэВ.
 5. В результате наблюдений галактической активной области звездообразования NGC 6334 гамма-обсерваторией *INTEGRAL* обнаружен источник жёсткого рентгеновского излучения с нетепловым спектром, который тянется по крайней мере до 100 кэВ.
 6. Проведённый многоволновой анализ области NGC 6334 позволил заключить, что обнаруженный жёсткий источник можно отождествить как с фоновым внегалактическим радиоисточником NGC 6334B, проецирующимся на область NGC 6334, так и с протяжённой HII-областью NGC 6334A, ассоциирующейся с ярким инфракрасным источником и радиооболочкой.
 7. Построена одномерная численная модель нестационарной аккреции вещества в колонке над полярной областью замагниченной нейтронной звезды. В рамках этой модели установлено наличие ударных волн в аккреционном потоке и исследована их временная эволюция.
 8. Часть энергии аккреционного потока трансформируется в циклотронное излучение в оптически толстой линии, давление которого существенно влияет на торможение потоков плазмы. При этом значительная часть кинетической энергии потока выделяется в виде излучения, не достигая дна колонки.

СПИСОК РАБОТ, ОПУБЛИКОВАННЫХ ПО ТЕМЕ ДИССЕРТАЦИИ

1. Bykov A.M., Bloemen H., Ivanchik A.V., Konstantinov A.N., Krassilchikov A.M., Lazarev V.E. Can we observe nuclear gamma-ray lines from accreting objects with INTEGRAL? // Astrophysical Letters and Communications — 1999. — V. **38**. — P. 285–289.
2. Быков А.М., Красильщиков А.М. Об аккреции на замагниченную нейтронную звезду // Научно-технические ведомости СПбГПУ — 2003. — Вып. **4**. — С. 139–142.
3. Быков А.М., Красильщиков А.М. О динамике потоков, аккрецирующих на замагниченную нейтронную звезду // Письма в астрономический журнал — 2004. — Т. **30**. — С. 351–361.
4. Bykov A.M., Krassilchikov A.M., Uvarov Yu.A., Bloemen H., Chevalier R.A., Gustov M.Yu., Hermsen W., Lebrun F., Lozinskaya T.A., Rauw G., Smirnova T.V., Sturmer S.J., Swings J.-P., Terrier R., Toptygin I.N. Hard X-ray Emission Clumps in the γ -Cygni Supernova Remnant: an INTEGRAL-ISGRI View // Astronomy and Astrophysics — 2004. — V. **427**. — P. L21–L24.
5. Bykov A.M., Krassilchikov A.M., Uvarov Yu.A., Lebrun F., Renaud M., Terrier R., Bloemen H., McBreen B., Courvoisier T.J.-L., Gustov M.Yu., Hermsen W., Leyder J.-C., Lozinskaya T.A., Rauw G., Swings J.-P. INTEGRAL detection of hard X-rays from NGC 6334: Nonthermal emission from colliding winds or an AGN? // Astronomy and Astrophysics — 2006. — V. **449**. — P. 917–923.
6. Bykov A.M., Krassilchikov A.M., Uvarov Yu.A., Kennea J., Pavlov G.G.,

- Dubner G.M., Giacani E.B., Bloemen H., Hermsen W., Kaastra J., Lebrun F., Renaud M., Terrier R., DeBecker M., Rauw G., Swings J.-P. On the nature of the hard X-ray source IGR J2018+4043 // *Astrophysical Journal* — 2006. — V. **649**. — P. L21-L24.
7. Быков А.М., Красильщиков А.М. О суб-эддингтоновской аккреции на замагниченную нейтронную звезду // Тезисы докладов международной конференции европейских астрономических союзов (JENAM-2000). — Москва, 2000. — С. 63.
 8. Красильщиков А.М., Быков А.М. Модель суб-эддингтоновской аккреции на замагниченную нейтронную звезду // Тезисы докладов международной конференции "Физика нейтронных звёзд". — Санкт-Петербург, 2001. — С. 27.
 9. Быков А.М., Красильщиков А.М. Модель суб-эддингтоновской аккреции на замагниченную нейтронную звезду // Тезисы докладов всероссийской конференции "Астрофизика высоких энергий сегодня и завтра (НЕА-2001)". — Москва, 2001. — С. 10.
 10. Быков А.М., Красильщиков А.М. О динамике потоков, аккрецирующих на замагниченную нейтронную звезду // Тезисы докладов всероссийской конференции "Астрофизика высоких энергий сегодня и завтра (НЕА-2002)". — Москва, 2002, — С. 6.
 11. Kennea J., Pavlov G.G., Bykov A.M., Krassilchikov A.M., Uvarov Yu.A., Lebrun F., Bloemen H., Hermsen W., Kaastra J. Swift XRT detection of the INTEGRAL ISGRI source IGR J2018+4043 // *Astronomer's Telegram*. — 2006. — Atel #788.

ЛИТЕРАТУРА, ЦИТИРУЕМАЯ В АВТОРЕФЕРАТЕ

- [1] Березинский В.С., Булатов С.В., Гинзбург В.Л., Догель В.А., Птушкин В.С. Астрофизика космических лучей // М., "Наука". — 1990.
- [2] Лозинская Т.А. // Письма в астрономический журнал. — 1977. — Т. **3**. — С. 306–309.
- [3] Зельдович Я.Б. // Доклады АН СССР. — 1964. — Т. **155**. — С. 67–70.
- [4] Becker W., Weisskopf M.C., Arzoumanian Z., et al. // *Astrophys. J.* — 2004. — V. **615**. — P. 897–907.
- [5] Bildsten L., Salpeter E.E., Wasserman I. // *Astrophys. J.* — 1992. — V. **384**. — P. 143–176.
- [6] Egan M.P., Price S.D., Kraemer K.E. // *Bull. Amer. Astron. Soc.* — 2003. — V. **203**. — M. 58.07.
- [7] Esposito J.A., Hunter S.D., Kanbach G., et al. // *Astrophys. J.* — 1996. — V. **461**. — P. 820–827.
- [8] Ghisellini G. // *Nucl. Phys. B*. — 2004. — V. **132**. — P. 76–85.
- [9] Higgs L., Landecker T., Roger R. // *Astron. J.* — 1977. — V. **82**. — P. 718–724.
- [10] Iwamoto K., Brachwitz F., Nomoto, K., et al. // *Astrophys. J. Suppl.* — 1999. — V. **125**. — P. 439–462.
- [11] Klein R.I., Arons J., Garrett J., Hsu J.J.-L. // *Astrophys. J.* — 1996. — V. **457**. — P. L85–L88.

- [12] Lebrun F., Leray J.P., Lavocat P., et al. // *Astron. Astrophys.* — 2003. — V. **411**. — P. L141-148.
- [13] Loughran L., McBreen B., Fazio G.G., et al. // *Astrophys. J.* — 1986. — V. **303**. — P. 629–637.
- [14] Lund N., Budtz-Joergensen C., Westergaard N.J., et al. // *Astron. Astrophys.* — 2003. — V. **411**. — P. L231-L238.
- [15] Mavromatakis F. // *Astron. Astrophys.* — 2003. — V. **408**. — P. 237–243.
- [16] McKibben W.P., Bagnuolo W.G., Jr., Gies D.R., et al., // *Proc. Astron. Soc. Pacif.* — 1998. — V. **110**. — P. 900–905.
- [17] Moran J.M., Rodriguez L.F., Greene B., et al. // *Astrophys. J.* — 1990. — V. **348**. — P. 147–152.
- [18] Reid I.N., Brewer C., Brucato R.J., et al. // *Proc. Astron. Soc. Pacif.* — 1991. — V. **103**. — P. 661–674.
- [19] Salpeter E.E. // *Astrophys. J.* — 1964. — V. **140**. — P. 796–800.
- [20] Skrutskie M.F., Cutri R.M., Stiening R., et al. // *Astron. J.* — 2006. — V. **131**. — P. 1163–1183.
- [21] Sturner S.J., Dermer C.D. // *Astron. Astrophys.* — 1995. — V. **293**. — P. L17–L20.
- [22] Weisskopf M.C., Swartz D.A., Carramiñana A., et al. // *ArXiv.* — 2006. — astro-ph/0606596.
- [23] Winkler C., Courvoisier T., Di Cocco G., et al. // *Astron. Astrophys.* — 2003. — V. **411**. — P. L1–L6.
- [24] Woosley S.E., Weaver T.A. // *Astrophys. J. Suppl.* — 1995. — V. **101**. — P. 181–235.